

# ПРОЕКТ

## Медицинская диагностика по электрокардиограмме

Воронцов Константин Вячеславович  
ФУПМ МФТИ • ВМК МГУ • Яндекс • FORECSYS

Семинар по проекту • 6 июля 2016  
Сочи, Сириус • Проектная смена • 1–24 июля 2016

## 1 Информационный анализ электрокардиосигналов

- Обоснования диагностической методики
- Исходные данные
- Этапы обработки данных

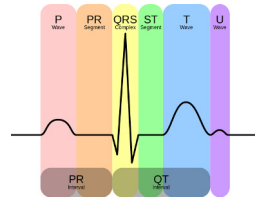
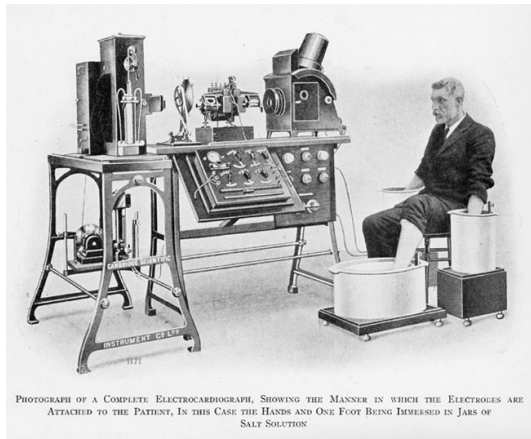
## 2 Задача машинного обучения

- Диагностические эталоны заболеваний
- Задача обучения линейного классификатора
- Задача отбора признаков

## 3 Измерение качества классификации

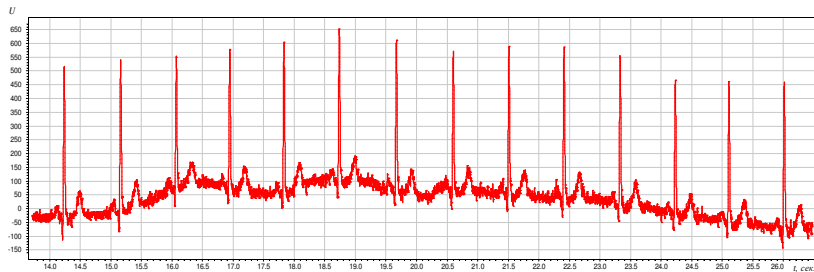
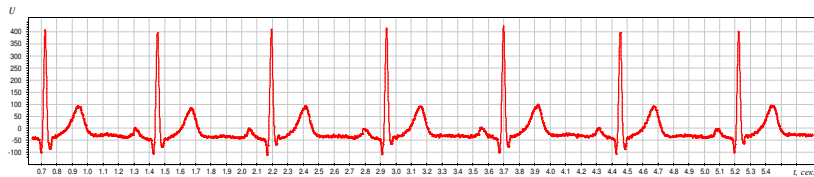
- Чувствительность и специфичность
- Кросс-валидация
- Результаты экспериментов

## Электрокардиография



- 1872 — первые записи электрической активности сердца  
1911 — коммерческий электрокардиограф (фото)  
1924 — нобелевская премия по медицине, Виллем Эйнтховен

## Примеры электроэнцефалограмм



В основе диагностики заболеваний сердца — многочисленные наблюдения за особенностями PQRST-комплекса

## Теория информационной функции сердца [В.М.Успенский]

### Предпосылки:

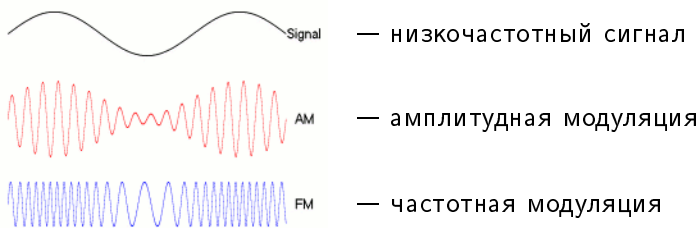
- Китайская традиционная медицина: *пульсовая диагностика*
- Р. М. Баевский: использование вариабельности сердечного ритма (*интервалов кардиоциклов*) в целях диагностики
- Появление цифровой электрокардиографии

### Предположения:

- ЭКГ-сигнал несёт информацию о функционировании всех систем организма, не только сердца
- Информация о заболевании может проявляться на любой его стадии, поэтому возможна *ранняя диагностика*
- Каждое заболевание по-своему «модулирует» ЭКГ-сигнал

## Краткий экскурс в теорию передачи сигналов

**Модуляция** — процесс, при котором высокочастотная волна используется для переноса низкочастотного сигнала.



**Демодуляция** — процесс, обратный модуляции, преобразование модулированных колебаний высокой (несущей) частоты в исходный низкочастотный сигнал.

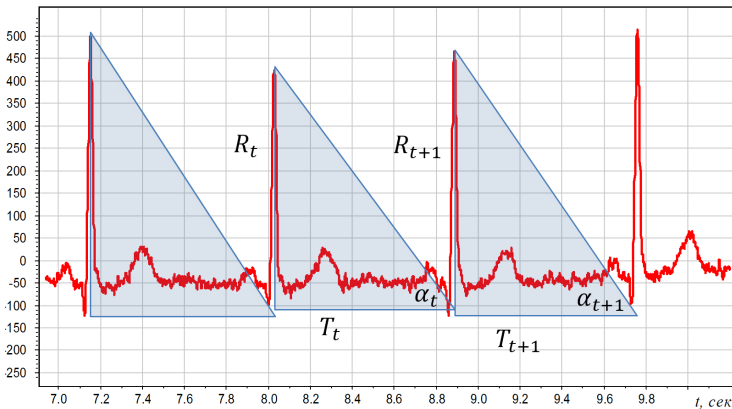
В случае ЭКГ несущая частота — биения сердца,  $\sim 1\text{ Гц}$   
А что будет аналогом модуляции и демодуляции?

## Вариабельность интервалов и амплитуд кардиоциклов

приращение амплитуд:  $dR_t = R_{t+1} - R_t$

приращение интервалов:  $dT_t = T_{t+1} - T_t$

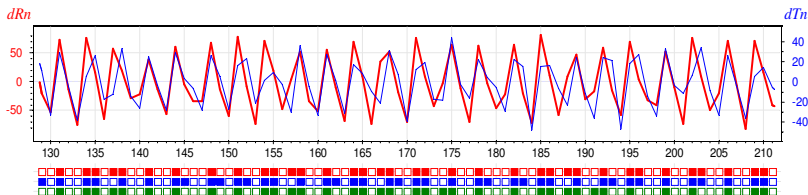
приращение углов:  $d\alpha_t = \alpha_{t+1} - \alpha_t$ ,  $\alpha_t = \arctg \frac{R_t}{T_t}$



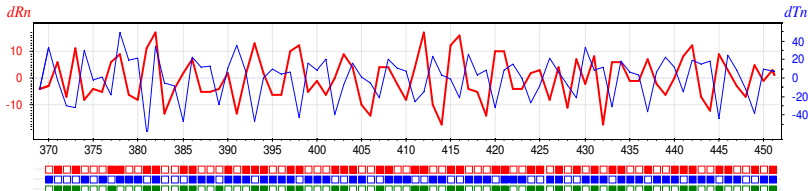
## Есть ли различия в знаках приращений у больных и здоровых?

Приращения  $dR_t$ ,  $dT_t$ ,  $d\alpha_t$  в последовательных кардиоциклах  $t$

Здоровый:



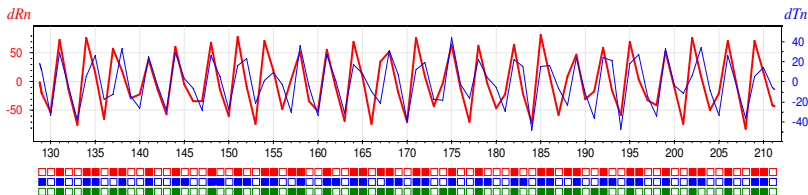
Больной (язвенная болезнь):



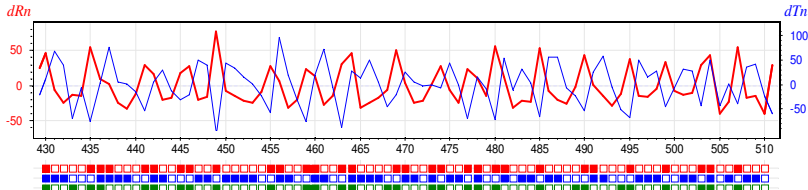
# Есть ли различия в знаках приращений у больных и здоровых?

Приращения  $dR_t$ ,  $dT_t$ ,  $d\alpha_t$  в последовательных кардиоциклах  $t$

Здоровый:



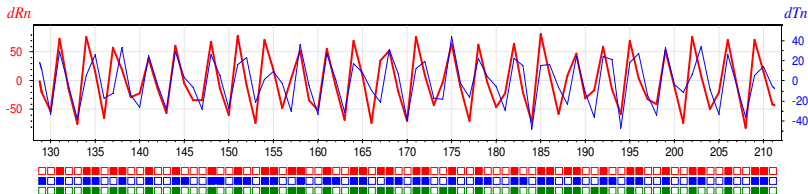
Больной (гипертония):



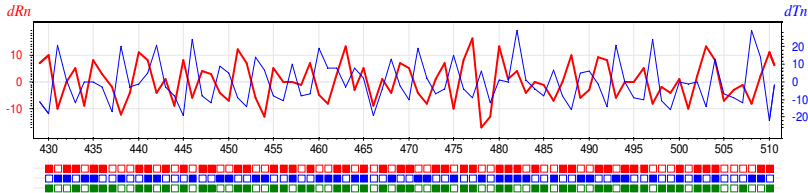
# Есть ли различия в знаках приращений у больных и здоровых?

Приращения  $dR_t$ ,  $dT_t$ ,  $d\alpha_t$  в последовательных кардиоциклах  $t$

Здоровый:

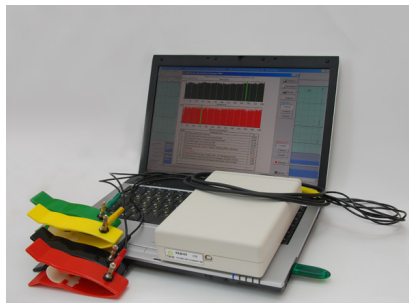


Больной (рак):



## Диагностическая система «Скринфакс»

Цифровой электрокардиограф с улучшенной  
помехозащищённостью и расширенной полосой пропускания.



- более 15 лет исследований и накопления данных
- более 20 тысяч прецедентов (кардиограмма + диагноз)
- более 40 заболеваний

## Объём исходных данных (по заболеваниям)

абсолютно здоровые	АЗ	193
гипертоническая болезнь	ГБ	1894
ишемическая болезнь сердца	ИБС	1265
сахарный диабет (СД1 и СД2)	СД	871
язвенная болезнь	ЯБ	785
миома матки	ММ	781
узловой (диффузный) зоб щитовидный железы	УЩ	748
дискинезия желчевыводящих путей	ДЖВП	717
хронический гастрит (гастродуоденит) гипоацидный	ХГ2	700
вегетососудистая дистония	ВСД	694
мочекаменная болезнь	МКБ	654
рак общий (онкология различной локализации)	РО	530
холецистит хронический	ХХ	340
асептический некроз головки бедренной кости	НГБК	324
хронический гастрит (гастродуоденит) гиперацидный	ХГ1	324
желчнокаменная болезнь	ЖКБ	278
аднексит хронический	АХ	276
аденома простаты	ДГПЖ	260
анемия железодефицитная	ЖДА	260

## Технология информационного анализа ЭКГ по В.М.Успенскому

Этапы предварительной обработки ЭКГ-сигнала:

- ❶ *Демодуляция* — вычисление амплитуд, интервалов и углов по кардиограмме длиной 600 кардиоциклов
- ❷ *Дискретизация* — перевод в *кодограмму* — 599-символьную строку в 6-буквенном алфавите
- ❸ *Векторизация* — перевод в вектор  $6^3 = 216$  частот триграмм

Этапы машинного обучения:

- ❶ Формирование обучающих выборок здоровых и больных
- ❷ Формирование модели классификации
- ❸ Оптимизация модели классификации
- ❹ Оценивание качества диагностики

## Дискретизация ЭКГ-сигнала

Вход: последовательность интервалов и амплитуд  $(T_t, R_t)_{t=1}^{N+1}$

Правила кодирования:

$dR_t = R_{t+1} - R_t$	+	-	+	-	+	-
$dT_t = T_{t+1} - T_t$	+	-	-	+	+	-
$d\alpha_t = \alpha_{t+1} - \alpha_t$	+	+	+	-	-	-
$s_t$	A	B	C	D	E	F

Выход: кодограмма  $x = (s_t)_{t=1}^N$  — последовательность символов алфавита  $\{A, B, C, D, E, F\}$ :

DBFEACFDAAFBABDDAADFAAFFEACFEACFBAEFFAABFFAAFFAAFFFAAEBFAEBFEAAFCAAFFAAD  
FCAFFAADFCAFDFCCDFDACPFFACDFAEFFACFFEAODFCABCDAFFCCECFAAFFAAFFFAEFFCACFCAEFFCAD  
DAADBFBAFFAEBFAABFACDFAAFBAAODFDAAFCECFCEDFCEEFCAEFBEC8BBBAODBACFFAAFFFA  
CFFCECFDAABDAFFCFAAFFBFAAFFFAEFAEFBACFBAEDEFCAFFFAEFFCACFCACFFCAEFFBAAFFFAAFFFA  
EABFCFFADEEBDECFFACFFAABFBAAFFCACFFFAEFFCACFCACFFCAEFFBAAFFFAEFFCACFCACFFCA  
AABFACDFDAEFFFAABDAAEFFEAFBCECFDECCFBAAFFAADF DACDFAAFFAADFCAADFAEFBAAFFCADFE  
AFFCECFCECFFFAAFFBACFDAAAFFAODBFCAEFFAABFBACFBAAEBFCAFFBAAFFFAAFFDACFDABFB  
CAFFAECFFACFFACDFCAFDFCAADFDDABBFCACDDBAAFFCAFFCADFCAADFCAEDFCACFCAEBC

## Векторизация ЭКГ-сигнала

По ЭКГ строится текстовая строка — *кодограмма*:



DBFEAFCFDAAFBABDDAADFAAFFEACFBAEFFAABFFAAFFAAFFFAAEBFAEBCAFFFCAAD  
FCAFFAADFCAFCCDFACFFACDFEAOFCAFBCADFFCFAAFFFAAFFFCACFCACFFCAD  
DAADBFRAABFBAABFACDFBAAFDFAADFCECFCEDFCEEFCAEFFBECBBAABDABACFFAAFFFA  
CFFCECFDAABDAEFFFAAFFCEDBFAAFFEAEBFACFBAEDEAAFFCAFFDAAFFAEBDAAOBBADFAAFF  
EABFCCAFDEEBDECFFACFFAABFBAADFBAAFFACFFFCAEFFCACFFCECFBAAFFFAAFFFAAFFFAADF  
AABFACDFDAEFAABDABAEFFFAFBCECFDECCFBAAFFFAAOFDACDFRAAFFAADFCAADFCAEFBAAFFCADE  
AFFCECFCECFFAAFFABCDFDABRAAFFAABFACBFAABEBCAFFBAAFFFAAFFDACPDAABFB  
CAFFAECCFFACFFACDFCAFDFOABFRAEEDDABBFACDCAAFFFCADFCAADFCAEBC

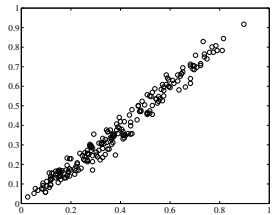
Частоты триграмм — число вхождений триграмм в кодограмму:

1. FFA - 42	17. EFF - 10	33. CEC - 6	49. EAC - 3
2. FAA - 33	18. DAA - 10	34. ADB - 5	50. DDA - 3
3. AFF - 32	19. ECF - 9	35. FFE - 5	51. CAC - 3
4. AAF - 30	20. FFC - 9	36. EBF - 5	52. EDF - 3
5. ADF - 18	21. FEA - 9	37. CFD - 5	53. EFB - 3
6. FCA - 18	22. DFC - 8	38. AFB - 4	54. DBA - 3
7. ACF - 17	23. ABF - 8	39. AAE - 4	55. FCC - 2
8. AAD - 15	24. AAB - 8	40. CFC - 4	56. AFC - 2
9. CFF - 14	25. FCE - 8	41. CAE - 4	57. EAA - 2
10. AEF - 13	26. AEB - 7	42. DAC - 4	58. CED - 2
11. FDA - 13	27. DFD - 7	43. DBF - 4	59. CAA - 2
12. FAE - 12	28. ACD - 6	44. BFC - 4	60. BCA - 2
13. FAC - 12	29. CDF - 6	45. CFB - 4	61. BBA - 2
14. FBA - 11	30. DFA - 6	46. AED - 3	62. DFF - 2
15. BFA - 11	31. CAF - 6	47. FFF - 3	63. BDA - 2
16. BAA - 11	32. CAD - 6	48. FBC - 3	64. DAE - 2

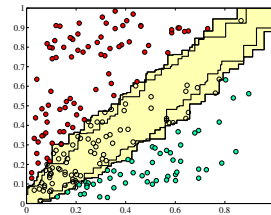
## Существуют сочетания триграмм, специфичные для болезней

- Точки на графиках соответствуют триграммам,  $j = 1, \dots, 216$
- ось X: доля здоровых  $x_i$  с частотой триграммы  $x_i^j \geq 2$  из 600
  - ось Y: доля больных  $x_i$  с частотой триграммы  $x_i^j \geq 2$  из 600

НГБК (асептический некроз головки бедренной кости)



случайно перемешанные  $y_i$



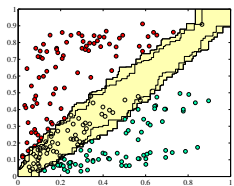
наблюдаемые  $y_i$

**Слева:** как распределяются точки, если объектам  $x_i$  назначить случайные (случайно перемешанные) метки классов  $y_i$ .

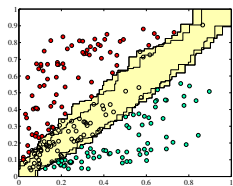
**Жёлтая область:** если случайно перемешать 20 раз, 1000 раз.

# Существуют сочетания триграмм, специфичные для болезней

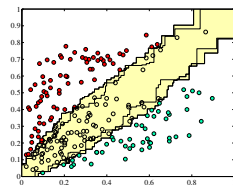
Для каждой болезни есть свои неслучайно частые триграммы



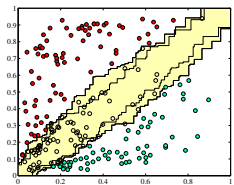
ишемия сердца



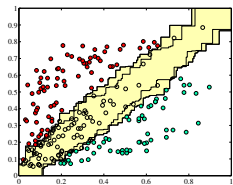
гипертония



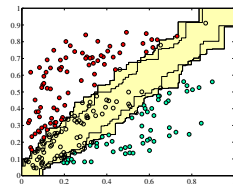
рак



желчнокаменная болезнь



миома матки

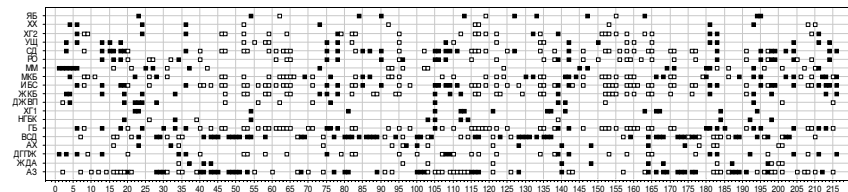


язвенная болезнь

## Болезни отличаются наборами информативных триграмм

ось X: — номера триграмм  $j = 1, \dots, n$ ,  $n = 216$

ось Y: болезни (A3 — абсолютно здоровые)



□ — неслучайно низкая частота триграмм

■ — неслучайно высокая частота триграмм

**Вывод 1.** Для каждой болезни есть триграммы с неслучайно высокой и неслучайно низкой частотой

**Вывод 2.** Диагностический эталон болезни — специфичное подмножество триграмм с неслучайно высокой частотой

## Задача статистического (машинного) обучения с учителем

Восстановление зависимости  $y = f(x)$  по обучающей выборке  $(x_i, y_i)_{i=1}^{\ell}$ , объекты  $x_i = (x_i^1, \dots, x_i^n)$ , ответы  $y_i = f(x_i)$ .

### Этап обучения (train)

Метод обучения  $\mu$  строит алгоритм  $a$ :

$$\boxed{\begin{pmatrix} x_1^1 & \dots & x_1^n \\ \dots & \dots & \dots \\ x_\ell^1 & \dots & x_\ell^n \end{pmatrix} \xrightarrow{f} \begin{pmatrix} y_1 \\ \dots \\ y_\ell \end{pmatrix} \xrightarrow{\mu} a}$$

### Этап применения (test)

Алгоритм  $a$  выдаёт ответы  $a(\tilde{x}_i)$  для новых объектов  $\tilde{x}_1, \dots, \tilde{x}_k$ :

$$\begin{pmatrix} \tilde{x}_1^1 & \dots & \tilde{x}_1^n \\ \dots & \dots & \dots \\ \tilde{x}_\ell^1 & \dots & \tilde{x}_\ell^n \end{pmatrix} \xrightarrow{a} \begin{pmatrix} a(\tilde{x}_1) \\ \dots \\ a(\tilde{x}_k) \end{pmatrix}$$

## Линейная модель классификации с двумя классами

Для простоты рассмотрим только одно заболевание:

$y_i = 1$  — больной,  $y_i = 0$  — здоровый

- чем выше частота триграмм  $x^j$ , тем она информативнее
- есть триграммы, более характерные для больных, и есть триграммы, более характерные для здоровых

Линейная модель классификации:

$$\langle x, w \rangle = \sum_{j=1}^n w_j x^j, \quad a(x) = \begin{cases} 1, & \langle x, w \rangle \geq w_0 \\ 0, & \langle x, w \rangle < w_0 \end{cases}$$

где  $w_j$  — вес  $j$ -й триграммы:

- $w_j > 0$ , если триграамма более характерна для больных
- $w_j < 0$ , если триграамма более характерна для здоровых
- $w_j = 0$ , если триграамма не информативна для этой болезни

## Бинаризация признаков

**Эвристика:** важно, что триграмма часто встречается, но не так важно, *настолько* часто.

**Исходные целочисленные признаки:**

$x_i^j$  — сколько раз  $j$ -я триграмма встретилась в  $i$ -й кодограмме

**Бинаризованные признаки:**

$b_i^j = [x_i^j \geq A]$  (позже выяснилось, что лучше брать  $A = 2$ )

Число обучающих объектов класса  $y$ , для которых  $b_i^j = z$ :

$$N_{yz}^j = \sum_{i=1}^{\ell} [y_i = y] [b_i^j = z]$$

$N_{11}^j$  — число больных, у которых  $j$ -я триграмма частая

$N_{01}^j$  — число здоровых, у которых  $j$ -я триграмма частая

## Выбор весов

**Эвристика:** вес  $j$ -й триграммы тем больше,

- 1) чем больше  $N_{11}^j$  и  $N_{00}^j$ ,
- 2) чем меньше  $N_{01}^j$  и  $N_{10}^j$ ,

Можно пробовать разные формулы для весов:

$$w_j = \frac{N_{11}^j}{N_{01}^j}$$

$$w_j = \frac{N_{11}^j N_{00}^j}{N_{01}^j N_{10}^j}$$

$$w_j = \log \frac{N_{11}^j}{N_{01}^j}$$

$$w_j = \log \frac{N_{11}^j N_{00}^j}{N_{01}^j N_{10}^j}$$

$$w_j = \sqrt{N_{11}^j} - \sqrt{N_{01}^j}$$

$$w_j = \sqrt{N_{11}^j N_{00}^j} - \sqrt{N_{01}^j N_{10}^j}$$

... и разрешается фантазировать!

## Отбор признаков

**Гипотеза:** если в линейный классификатор  $\langle x, w \rangle$  добавить кучу неинформативных признаков, никак не связанных с данной болезнью, то получится  $\langle x, w \rangle + \text{шум}$ .

**Эвристика 1:** отсортировать признаки по убыванию весов  $|w_j|$  и взять первые  $K$  лучших. Для остальных положить  $w_j = 0$ .

**Эвристика 2:** отсортировать по весам из одной формулы, а в классификаторе использовать веса из другой формулы.

Модификации модели (примочки, костыли,...), сделанные из нестрогих соображений, по-научному называются **эвристиками**.

Эвристическое мышление в прикладных исследованиях необходимо, оно ближе к мышлению физика, чем математика.

## Итак, наш первый алгоритм обучения!

**Вход:** выборка  $(x_i, y_i)_{i=1}^{\ell}$ ;  $\mathcal{A} = \{A_1, \dots, A_N\}$ ,  $\mathcal{K} = \{K_1, \dots, K_M\}$

**Выход:** веса  $w_j$ , параметры  $A, K$

- 1 **для** всех значений параметров  $A \in \mathcal{A}, K \in \mathcal{K}$
- 2     вычислить  $N_{yz}^j$  для всех  $j = 1, \dots, n$ ,  $y, z \in \{0, 1\}$ ;
- 3     вычислить веса  $w_j$  для всех признаков  $j = 1, \dots, n$ ;
- 4     отсортировать признаки по убыванию  $|w_j|$ ;
- 5     обнулить веса признаков  $w_{K+1}, \dots, w_n$ ;
- 6     оценить качество классификации  $Q(A, K)$ ;
- 7 оставить  $A, K$ , при которых  $Q(A, K) \rightarrow \max$ ;

Перебирать можно также виды формул весов, порог  $w_0$ , и другие параметры (если их придумать)

**Следующий вопрос:** как измерять качество?

## Терминология диагностики

**Положительный диагноз** — алгоритм предсказывает болезнь (хотя, казалось бы, что тут положительного...)

Доля больных с верным положительным диагнозом:

$$\text{чувствительность} = \frac{\sum_{i=1}^{\ell} [y_i = 1][a(x_i) = 1]}{\sum_{i=1}^{\ell} [y_i = 1]}$$

Доля здоровых с верным отрицательным диагнозом:

$$\text{специфичность} = \frac{\sum_{i=1}^{\ell} [y_i = 0][a(x_i) = 0]}{\sum_{i=1}^{\ell} [y_i = 0]}$$

Чувствительность и специфичность хотим максимизировать.

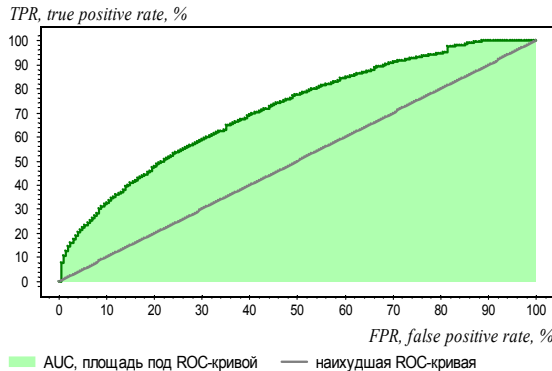
- ⊕ Они не зависят от соотношения мощностей классов.
- ⊕ Хорошо подходят для несбалансированных выборок.

## Определение ROC-кривой

по оси X: 1 – специфичность = FPR, false positive rate,

по оси Y: чувствительность = TPR, true positive rate

Каждая точка ROC-кривой соответствует значению порога  $w_0$  (ROC – «receiver operating characteristic»),



## AUC – площадь под ROC-кривой

Модель классификации:  $a(x_i) = [\langle x_i, w \rangle > w_0]$ ,

AUC равна доле правильно упорядоченных пар  $(x_i, x_j)$   
(докажите):

$$AUC = \frac{1}{\ell_0 \ell_1} \sum_{i=1}^{\ell_0} \sum_{j=1}^{\ell_1} [y_i < y_j] [\langle x_i, w \rangle < \langle x_j, w \rangle]$$

### Преимущества AUC:

- ⊕ не зависит от порога  $w_0$ , оценивает только качество  $w$ ;
- ⊕ не зависит от численности классов;
- ⊕ это общепринятая мера качества классификации;

Метод обучения  $\mu$  по выборке  $(x_i, y_i)_{i=1}^{\ell}$  строит алгоритм  $a$ .  
Чтобы измерить предсказательную способностью  $\mu$ , будем  
вычислять AUC на контрольной выборке.

## Результаты кросс-валидации

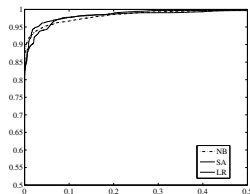
Обучающая выборка — для оптимизации параметров модели

Тестовая выборка — для оценивания чувс., спец., AUC

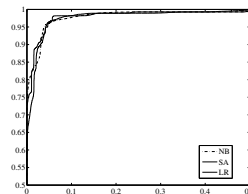
40×10-fold cross-validation — для доверительного оценивания

болезнь	выборка	AUC, %	C% при Ч=95%
некроз головки бедренной кости	327	99.19 ± 0.10	96.6 ± 1.76
желчнокаменная болезнь	277	98.98 ± 0.23	94.4 ± 1.54
ишемическая болезнь сердца	1262	97.98 ± 0.14	91.1 ± 1.86
гастрит	321	97.76 ± 0.11	88.3 ± 2.64
гипертоническая болезнь	1891	96.76 ± 0.09	84.7 ± 1.99
сахарный диабет	868	96.75 ± 0.19	85.3 ± 2.18
аденома простаты	257	96.49 ± 0.13	80.1 ± 3.19
рак	525	96.49 ± 0.28	82.2 ± 2.38
узловой зоб щитовидной железы	750	95.57 ± 0.16	73.5 ± 3.41
холецистит хронический	336	95.35 ± 0.12	74.8 ± 2.46
дискинезия ЖВП	714	94.99 ± 0.16	70.3 ± 4.67
мочекаменная болезнь	649	94.99 ± 0.11	69.3 ± 2.14
язвенная болезнь	779	94.62 ± 0.10	63.6 ± 2.55

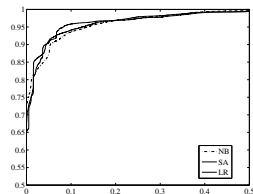
## ROC-кривые в осях X:(1—специфичность), Y:чувствительность



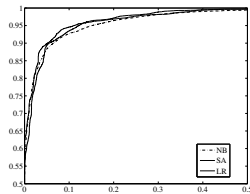
асептический некроз ГБК



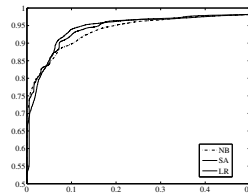
желчнокаменная болезнь



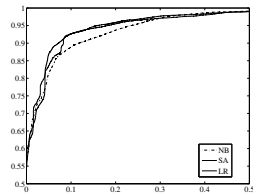
ишемическая болезнь



хронический гастрит 1



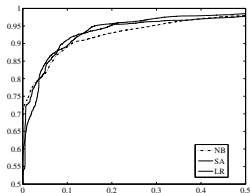
сахарный диабет



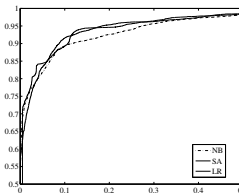
гипертония

NB — Naïve Bayes, SA — Syndrome Algorithm, LR — Logistic Regression

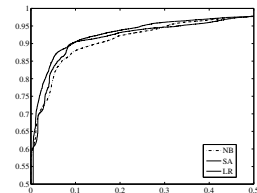
## ROC-кривые в осях X:(1—специфичность), Y:чувствительность



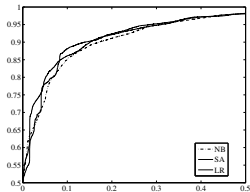
рак общий



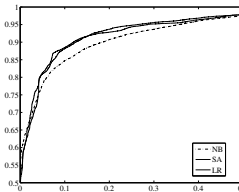
аденома простаты



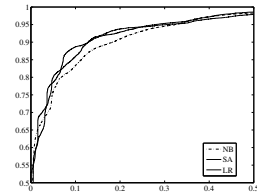
зоб щитовидной железы



хронический гастрит 2



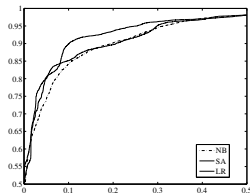
дискинезия ЖВП



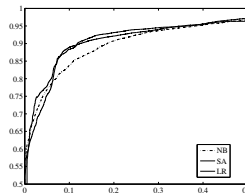
мочекаменная болезнь

NB — Naïve Bayes, SA — Syndrome Algorithm, LR — Logistic Regression

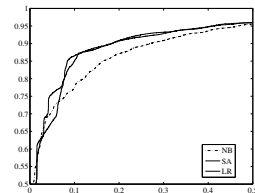
## ROC-кривые в осях X:(1—специфичность), Y:чувствительность



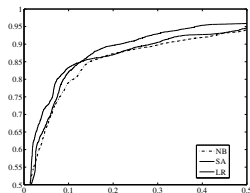
хронический холецистит



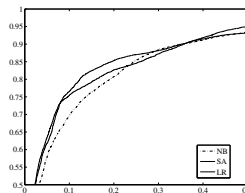
язвенная болезнь



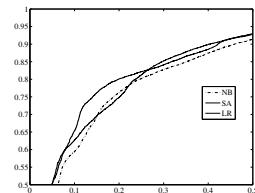
миома матки



хронический аднексит



анемия

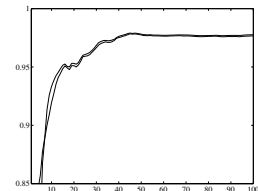
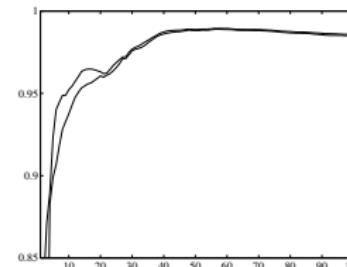
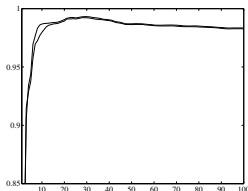


вегетососудистая дистония

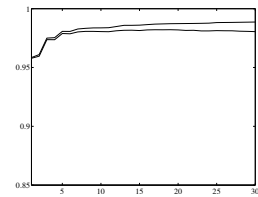
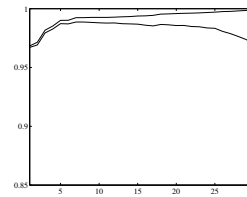
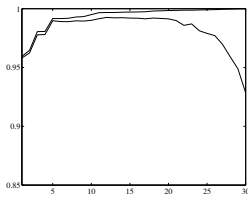
NB — Naïve Bayes, SA — Syndrome Algorithm, LR — Logistic Regression

## Зависимости AUC от числа используемых признаков $K$

Синдромный алгоритм (наивный Байес на  $K$  признаках):



Логистическая регрессия ( $K$  — число главных компонент):



асептический некроз ГБК

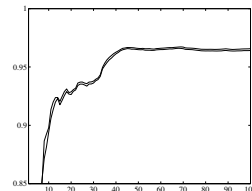
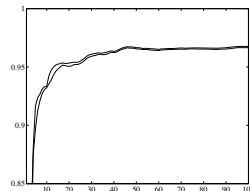
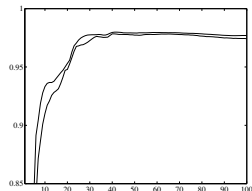
желчнокаменная болезнь

ишемическая болезнь

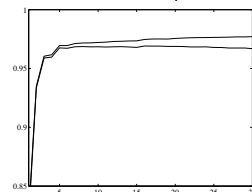
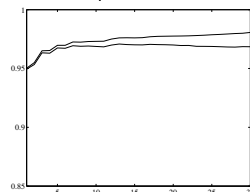
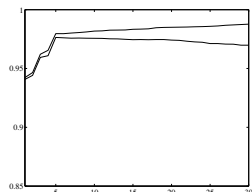
Тонкая (верхняя) линия — на обучающей выборке  
Толстая (нижняя) линия — на тестовой выборке

## Зависимости AUC от числа используемых признаков $K$

Синдромный алгоритм ( $K$  — число признаков):



Логистическая регрессия ( $K$  — число главных компонент):



хронический гастрит 1

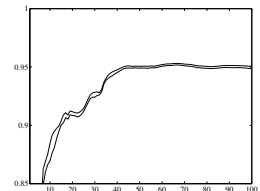
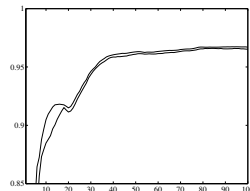
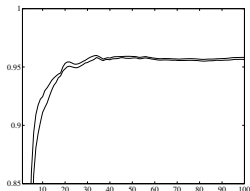
сахарный диабет

гипертония

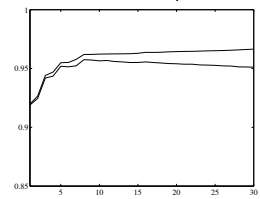
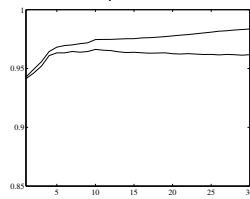
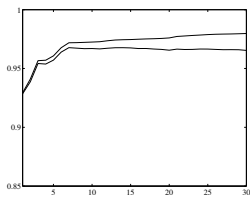
Тонкая (верхняя) линия — на обучающей выборке  
Толстая (нижняя) линия — на тестовой выборке

## Зависимости AUC от числа используемых признаков $K$

Синдромный алгоритм ( $K$  — число признаков):



Логистическая регрессия ( $K$  — число главных компонент):



рак общий

аденома простаты

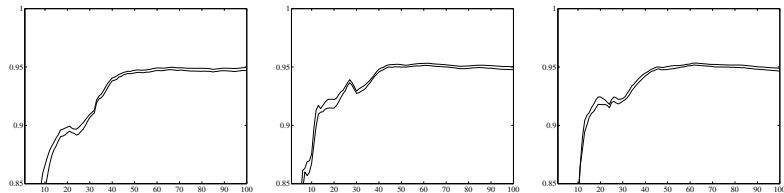
зоб щитовидной железы

Тонкая (верхняя) линия — на обучающей выборке

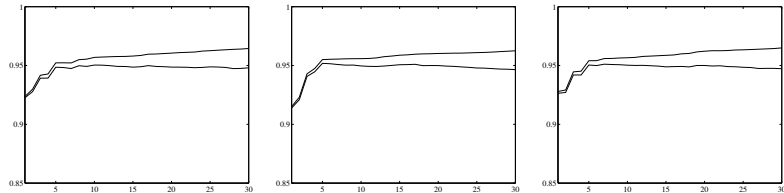
Толстая (нижняя) линия — на тестовой выборке

## Зависимости AUC от числа используемых признаков $K$

Синдромный алгоритм ( $K$  — число признаков):



Логистическая регрессия ( $K$  — число главных компонент):



хронический гастрит 2

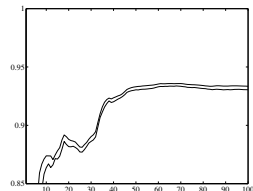
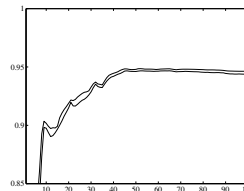
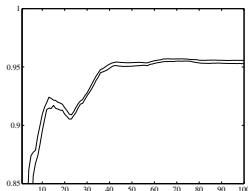
дискинезия ЖВП

мочекаменная болезнь

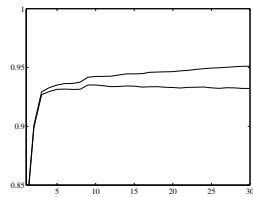
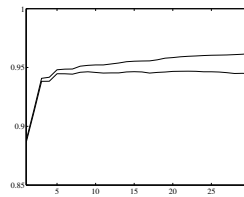
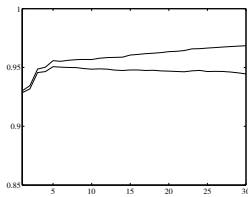
Тонкая (верхняя) линия — на обучающей выборке  
Толстая (нижняя) линия — на тестовой выборке

## Зависимости AUC от числа используемых признаков $K$

Синдромный алгоритм ( $K$  — число признаков):



Логистическая регрессия ( $K$  — число главных компонент):



хронический холецистит

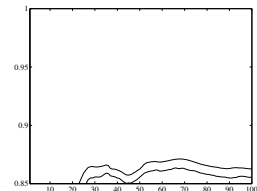
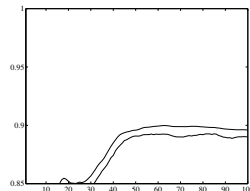
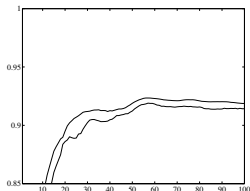
язвенная болезнь

миома матки

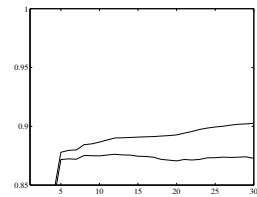
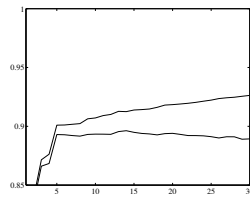
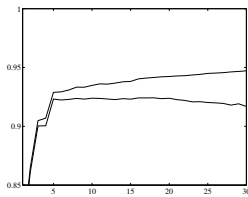
Тонкая (верхняя) линия — на обучающей выборке  
Толстая (нижняя) линия — на тестовой выборке

## Зависимости AUC от числа используемых признаков $K$

Синдромный алгоритм ( $K$  — число признаков):



Логистическая регрессия ( $K$  — число главных компонент):



хронический аднексит

анемия

вегетососудистая дистония

Тонкая (верхняя) линия — на обучающей выборке  
Толстая (нижняя) линия — на тестовой выборке

## Наши планы

- ❶ освоить программирование в Python
- ❷ научиться работать с данными и «смотреть на данные»
- ❸ попробовать несколько методов «из коробки»
- ❹ сделать что-то своё и провести соревнование методов
- ❺ кооперироваться со смежными проектами:  
«Антитела» — алгоритмы множественного выравнивания  
«Случайные явления» — фрактальный анализ ЭКГ  
«Оптимизация» — градиентные методы
- ❻ научиться проводить мозговые штурмы
- ❼ научиться оформлять результаты исследований
- ❽ подготовить выступление на конференции

Воронцов Константин Вячеславович

[voron@forecsys.ru](mailto:voron@forecsys.ru)

[www.MachineLearning.ru](http://www.MachineLearning.ru) • Участник:Vokov

Когда что-то не понятно,  
не стесняйтесь подходить и спрашивать :)